

**DRC-17****การพัฒนาเครื่องช่วยจัดตำแหน่งส่วนทางการแพทย์แบบโคออร์ดิเนตที่เขียน  
Development of a Cooperative-Cartesian Positioner for Surgical Drill Positioning**

ปิยัญญุ พวงมะลิ\*, จักรชัย จรุงพันธ์เกษม, รฐนน โฉมทอง และ วิรุพห์ อนันตผล

ภาควิชาวิศวกรรมเครื่องกล คณะวิศวกรรมศาสตร์ มหาวิทยาลัยเชียงใหม่ 239 ถ.ห้วยแก้ว ต.สุเทพ อ.เมือง จ.เชียงใหม่ 50200

\*ติดต่อ: pinyo@dome.cmu.ac.th, 053-944146, 053-944145

**บทคัดย่อ**

การเจาะวัตถุด้วยสว่านมือ (handheld drill) มีข้อดีในแง่ของความสะดวกในการจัดตำแหน่งและการปรับเปลี่ยนแนวการวางตัวของสว่าน อย่างไรก็ตามก็มีข้อเสียคือทำให้การเจาะมีความคาดเคลื่อนไปได้มาก ซึ่งในทางการแพทย์นั้น การเจาะที่คาดเคลื่อนอาจทำให้เกิดความเสียหายต่อกระดูกและเนื้อเยื่อที่สำคัญได้ เพื่อเป็นการเพิ่มประสิทธิภาพของการเจาะ บทความนี้จึงนำเสนอเครื่องช่วยจัดตำแหน่งส่วนทางการแพทย์ที่สามารถจัดตำแหน่งและปรับเปลี่ยนแนวการวางตัวได้โดยสะดวก (ลักษณะใกล้เคียงกับการใช้งานสว่านมือ) แต่สามารถล็อกตำแหน่งเพื่อให้เกิดเสถียรภาพและความแม่นยำขณะทำการเจาะวัตถุ ทั้งนี้การทำงานของเครื่องอาศัยกลไกแบบคาร์ทีเซียน (Cartesian) 2 ชุดเชื่อมต่อกันด้วยก้านโยงผ่านข้อต่อฮุก (Hooke's joints) บนชิ้นส่วนก้านโยงมีการติดตั้งกลไกขับเคลื่อนเชิงเส้นสำหรับขับเคลื่อนสว่านซึ่งควบคุมด้วยไมโครคอนโทรลเลอร์และอุปกรณ์อิเล็กทรอนิกส์จากการทดสอบเครื่องช่วยจัดตำแหน่งสว่านต้นแบบที่พัฒนาขึ้นพบว่า เครื่องสามารถรองรับการปรับเปลี่ยนตำแหน่งตามแนวราบในช่วง  $\pm 30$  มิลลิเมตรได้ ส่วนการวางตัวของสว่านสามารถปรับได้ในช่วง  $\pm 35$  องศา ระยะการเคลื่อนตัวสูงสุดของสว่านตามแนวการเจาะคือ 145 มิลลิเมตร

**คำหลัก:** กลไกวงปิด; สว่านผ่าตัด; เครื่องช่วยจัดตำแหน่งเครื่องมือผ่าตัด

**Abstract**

Drilling using handheld drill has an advantage in that the manipulation of the drill can be intuitively performed. However, its inferior due to inaccuracy of drilling may cause severe damages, especially those with bones and tissues during surgical treatments. To enhance the effectiveness of drilling, this paper proposes a surgical drill positioner that can be used to assist positioning of the drill. It can stabilize the drill when accurate drilling is required. The main components of the positioner are two sets of Cartesian mechanisms which are linked by a linkage through Hooke's joints. The linkage supports a linear drilling mechanism that drives the drill with the control of a microcontroller. Experimental tests of a prototype showed that the designed positioner can travel horizontally within ranges of  $\pm 30$  millimeters. The orientation of the drill can be adjusted within a range of  $\pm 35$  degrees. The maximum traveling distance of the drill along the drilling axis is 145 millimeters.

**Keywords:** Closed-chain mechanism; surgical drill; surgical positioner.

## 1. บทนำ

การเจาะวัตถุเป็นกระบวนการพื้นฐานทางวิศวกรรมที่มีความสำคัญอย่างยิ่ง การเจาะที่เที่ยงตรงในตำแหน่งที่ถูกต้องจำเป็นต้องอาศัยความชำนาญและเครื่องมือที่มีประสิทธิภาพ ในปัจจุบันมีการใช้เครื่องเจาะสำหรับงานทางวิศวกรรมหลายประเภทซึ่งได้แก่ สว่านมือ สว่านแท่น เครื่องเจาะซีเอ็นซี และเครื่องเจาะที่ติดตั้งกับแขนกลอัตโนมัติ เป็นต้น สำหรับในทางการแพทย์ การผ่าตัดที่มีความยุ่งยากซับซ้อน เช่น การผ่าตัดเพื่อเจาะกระดูกสันหลังหรือการผ่าตัดเพื่อเจาะกะโหลกศีรษะ หากการเจาะทำความเสียหายต่อเนื้อเยื่อใกล้เคียงก็อาจเกิดผลเสียที่ทำให้ผู้ป่วยพิการหรือเสียชีวิตได้ [1] ดังนั้นในกรณีเช่นนี้จึงต้องการความแม่นยำในการเจาะค่อนข้างมาก นอกจากนั้นการผ่าตัดกระดูกโดยทั่วไป เช่น การผ่าตัดแก้ไขอาการข้อเข่าเสื่อมและการผ่าตัดยึดตรึงกระดูกที่แตกหักจากการประสพอุบัติเหตุก็ต้องการความแม่นยำสูงเช่นกัน ทั้งนี้เพื่อลดความเสียหายที่อาจเกิดขึ้นกับเส้นเลือดและเส้นประสาทในบริเวณข้างเคียง ด้วยเหตุที่กล่าวมาจึงมีการมุ่งพัฒนาเครื่องช่วยเจาะกระดูกที่มีลักษณะเฉพาะหลายรูปแบบ [1-3] อย่างไรก็ตามในปัจจุบันพบว่าส่วนใหญ่แพทย์ยังคงใช้สว่านมือเป็นอุปกรณ์หลักสำหรับการเจาะกระดูกเนื่องจากมีข้อดีในแง่ของการใช้งานที่สะดวกสามารถปรับเปลี่ยนตำแหน่งและปรับแนวการเจาะได้ง่าย แต่การเจาะด้วยมือทำให้เกิดความผิดพลาดได้มาก [4] เพราะแพทย์ต้องควบคุมทั้งตำแหน่ง แนวการวางตัว แรงกด ความลึก และอัตราเร็วในการเจาะ นอกจากนั้นยังต้องแบกรับน้ำหนักของสว่านไปพร้อมๆ กันอีกด้วย ภาวะต่างๆ เหล่านี้ยิ่งทำให้ประสิทธิภาพในการเจาะลดลงเมื่อแพทย์ต้องทำการผ่าตัดเป็นเวลานาน

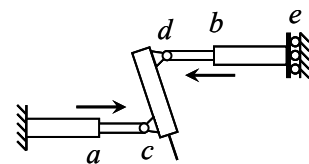
เพื่อแก้ปัญหาความไม่แม่นยำในการใช้สว่านมือ บทความนี้จึงนำเสนอการออกแบบเครื่องช่วยจัดตำแหน่งสว่านที่มีโครงสร้างแข็งแรงเพียงพอที่จะทำให้การเจาะมีความแม่นยำแต่ยังคงความสะดวกในการใช้

มือปรับเปลี่ยนตำแหน่งและแนวการวางตัวของสว่าน (คล้ายกับการถือสว่านมือเพื่อจัดตำแหน่ง) คุณสมบัติเช่นนี้แตกต่างไปจากการจัดตำแหน่งสว่านที่ติดตั้งกับแขนกลอัตโนมัติซึ่งส่วนมากมักจะอาศัยการกดปุ่มที่ยุงยากต่อการบังคับให้แขนกลจัดตัวในตำแหน่งที่ต้องการ ดังนั้นการใช้งานเครื่องช่วยจัดตำแหน่งสว่านที่พัฒนาขึ้นนี้นอกจากจะช่วยเพิ่มความแม่นยำในการผ่าตัดแล้วยังช่วยอำนวยความสะดวกในการผ่าตัดของแพทย์ซึ่งมีผลโดยตรงต่อการลดความเสี่ยงของการเกิดความผิดพลาดต่างๆ ในกระบวนการผ่าตัด

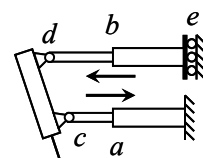
## 2. ระบบกลไก

### 2.1 หลักการทำงานของกลไก

การทำงานของเครื่องช่วยจัดตำแหน่งสว่านที่นำเสนอในที่นี้แสดงได้ด้วยแบบจำลองกลไกอย่างง่าย ดังรูปที่ 1 จากรูปจะเห็นได้ว่ากลไกมีลักษณะเป็นแขนยึดสว่าน 2 แขน มุมการวางตัวของสว่านถูกควบคุมด้วยการเคลื่อนที่ของข้อต่อแขน a และ b ตามแนวเชิงเส้นที่มีข้อต่อหมุน c และ d เป็นจุดต่อกับสว่าน นอกจากนี้ยังมีข้อต่อเชิงเส้น e ซึ่งเคลื่อนที่ได้โดยอิสระเป็นจุดต่อกับพื้น มุมการวางตัวสูงสุดของสว่าน



(ก)



(ข)

รูปที่ 1 ลักษณะการเปลี่ยนแปลงมุมการวางตัวของสว่าน (ก) สำหรับกลไกที่แขนยึดสว่านอยู่คนละด้าน และ (ข) สำหรับกลไกที่แขนยึดสว่านอยู่ด้านเดียวกัน

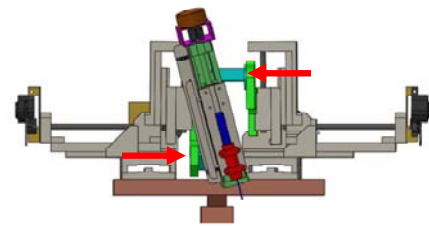
## DRC-17

ขึ้นอยู่กับขีดจำกัดการหมุนของข้อต่อหมุน c และ d และขอบเขตการจัดของข้อต่อเชิงเส้น a, b และ e

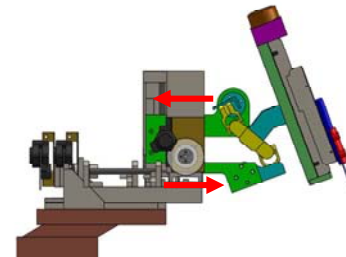
กลไกดังรูปที่ 1 มีลักษณะเป็นแขนยึดสว่านแบบกลไกวงปิด (closed-chain mechanism) ซึ่งเป็นที่ทราบกันโดยทั่วไปว่าคุณสมบัติเด่นของกลไกแบบนี้คือมีความแข็งแรง (stiffness) ค่อนข้างสูง [5] คุณสมบัติดังกล่าวเป็นผลต่ออย่างยิ่งต่อเสถียรภาพและความแม่นยำในการเจาะวัตถุที่เป็นของแข็ง เช่น กระจกมนุษย์

การออกแบบให้เครื่องช่วยจัดตำแหน่งสว่านสามารถทำงานได้ตามหลักการและคุณสมบัติดังกล่าวมาข้างต้นอาศัยพื้นฐานแนวคิดในการนำกลไกคาร์ทีเซียน (Cartesian mechanism) ซึ่งเป็นกลไกการเคลื่อนที่เชิงเส้นตามแนวแกนการเคลื่อนที่ 3 องศาอิสระ (3 degree of freedoms) ที่ตั้งฉากกันมาประยุกต์ใช้ กลไกคาร์ทีเซียนมีส่วนประกอบสำคัญคือแกนบอลสกรูความฝืดต่ำ (low-friction ball screw) และแบริ่งเชิงเส้น (linear bearing) ระยะการเคลื่อนที่ของกลไกตามแนวแกนเชิงเส้น x, y และ z คือ 120, 60 และ 65 มิลลิเมตร ตามลำดับ เมื่อนำกลไกคาร์ทีเซียน 2 ตัวมาเชื่อมโยงเข้าด้วยกันโดยอาศัยข้อต่อหมุนแบบฮุก (Hooke's joints) เป็นตัวเชื่อมต่อจะทำให้ได้ชิ้นส่วนก้านโยกที่มีแนวการวางตัวที่ปรับเปลี่ยนไปได้ (หากพิจารณารูปที่ 1 ข้อต่อฮุก คือ ข้อต่อหมุน c และ d นั่นเอง) ดังนั้นในการใช้งานจึงมีการติดตั้งสว่านและกลไกขับเคลื่อนสว่านเข้ากับชิ้นส่วนก้านโยกดังกล่าว ทั้งนี้เนื่องจากการเคลื่อนที่ของก้านโยกและสว่านมีความสัมพันธ์กับการเคลื่อนที่ของกลไกคาร์ทีเซียนทั้งสอง ดังนั้นจึงเรียกชื่อกลไกนี้ว่า “กลไกโคโอเปอเรทีฟคาร์ทีเซียน (cooperative Cartesian)” การเคลื่อนที่ของกลไกโคโอเปอเรทีฟคาร์ทีเซียนที่การเอียงตัวของสว่านสัมพันธ์กับการเคลื่อนที่ของกลไกคาร์ทีเซียนแสดงได้ดังรูปที่ 2

เนื่องจากไม่ต้องการให้ระบบมีความฝืดมากจนทำให้ไม่สะดวกต่อการปรับเปลี่ยนตำแหน่งและแนวการวางตัวของสว่านโดยตรงด้วยมือ (ใช้มือถอดปรับตำแหน่งหรือปรับหมุนให้ได้มุมเอียงที่ต้องการโดยตรง

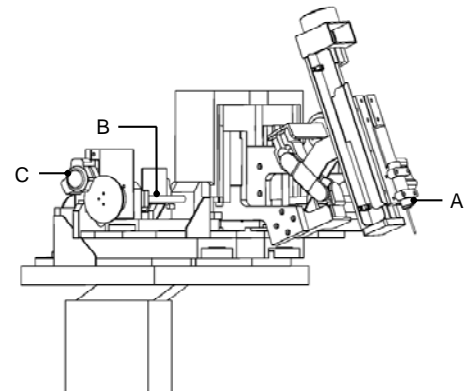


(ก)



(ข)

รูปที่ 2 ลักษณะการเคลื่อนที่ของกลไกโคโอเปอเรทีฟคาร์ทีเซียน (ก) มุมมองด้านหน้า (front view) และ (ข) มุมมองด้านข้าง (side view)



รูปที่ 3 ส่วนประกอบที่สำคัญของเครื่องช่วยจัดตำแหน่งสว่าน (A: สว่าน, B: บอลสกรู และ C: ตัวลอคบอลสกรู)

คล้ายกับการใช้งานสว่านมือ) จึงมีการเลือกใช้แกนบอลสกรูของกลไกคาร์ทีเซียนที่มีระยะพิทช์ (pitch) ค่อนข้างมาก (10 มิลลิเมตร) ซึ่งทำให้ระบบมีความฝืดต่ำ นอกจากนี้ที่ส่วนปลายของแกนบอลสกรูแต่ละอันบนกลไกคาร์ทีเซียนยังมีตัวลอคการหมุนแบบจาน (disc lock) ขนาดเล็กควบคุมการทำงานด้วยสวิตช์ไฟฟ้าติดตั้งไว้สำหรับหยุดการหมุนของแกนบอลสกรู (แสดงในรูปที่ 3) เมื่อตัวหยุดการหมุนทำงาน แกน

## DRC-17

บอลสกรูจะถูกล็อค ส่งผลให้ตำแหน่งและมุมการวางตัวของสว่านคงตัว ณ ตำแหน่งที่ต้องการ

## 2.2 การวิเคราะห์กลไก

ในระบบกลไกโคโอบีเอเรทีฟคาร์ทีเซียนที่เขียนที่ออกแบบสำหรับการจัดตำแหน่งสว่านนั้น มุมการวางตัวของสว่านมีความสัมพันธ์กับการเคลื่อนที่ในแนวตรง (linear motion) ของแต่ละส่วนการเคลื่อนที่ในระบบกลไก รูปที่ 4 แสดงการวิเคราะห์กลไกจากมุมมองด้านหน้า (front view) และด้านข้าง (side view) จะเห็นได้ว่าระยะ  $x_1$  และ  $x_2$  ที่ปรากฏในรูปที่ 4(ก) คือ การขจัดเชิงเส้น (linear displacement) ของข้อต่อเชิงเส้นบนกลไกคาร์ทีเซียนแต่ละตัว ในกรณีที่สว่านถูกจุดให้เคลื่อนที่ตามแนวตรงโดยไม่มีการบิดหมุนให้เอียงตัว ระยะขจัด  $x_1$  และ  $x_2$  จะมีค่าเท่ากัน แต่หากสว่านถูกจุดให้เกิดการเอียงตัวจากแนวตั้ง ระยะขจัด  $x_1$  และ  $x_2$  จะมีค่าไม่เท่ากัน ความต่างระหว่าง  $x_1$  และ  $x_2$  (differential displacement) เป็นตัวบ่งชี้ค่ามุมการวางตัวของสว่าน การเคลื่อนที่เชิงเส้นตามแนวแกนและการเอียงตัวของสว่านซึ่งเขียนแทนด้วย  $x_m$  และ  $\theta$  แสดงได้ด้วยสมการ

$$x_m = \frac{x_1 + x_2}{2} \quad (1)$$

และ 
$$\theta = \arcsin\left(\frac{x_1 - x_2}{l}\right) \quad (2)$$

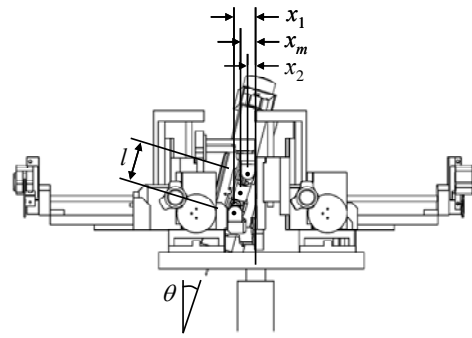
เมื่อ  $l$  คือ ความยาวของก้านโยงที่อยู่ระหว่างข้อต่อคู่

สำหรับการเคลื่อนที่เชิงเส้นและการเอียงตัวของสว่านในระนาบด้านข้างสามารถพิจารณาได้ในทำนองเดียวกันดังรูปที่ 4(ข) ในกรณีนี้ความสัมพันธ์ที่บ่งชี้ถึงการเคลื่อนที่เชิงเส้น  $y_m$  และการเอียงตัวของสว่านในระนาบด้านข้าง  $\varphi$  แสดงด้วยสมการ

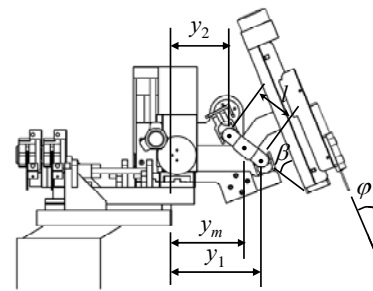
$$y_m = \frac{y_1 + y_2}{2} \quad (3)$$

และ 
$$\varphi = \arcsin\left(\frac{y_1 - y_2}{l}\right) - \beta \quad (4)$$

เมื่อ  $\beta$  คือ มุมระหว่างแนวการวางตัวของก้านโยงข้อต่อคู่กับสว่าน หากพิจารณา (2) และ (4) จะสังเกตเห็นได้ว่ามุมการวางตัวของสว่านขึ้นอยู่กับระยะสูงสุดที่ข้อต่อเชิงเส้นเคลื่อนที่ไปได้ ในที่นี้เนื่องจาก



(ก)



(ข)

รูปที่ 4 เรขาคณิตของกลไก (ก) มุมมองด้านหลัง (back view) และ (ข) มุมมองด้านข้าง (side view)

กลไกคาร์ทีเซียน 2 ตัวมีขนาดเท่ากันซึ่งค่าสูงสุดของ  $x_1$  กับ  $x_2$  มีค่าเท่ากัน ( $|x_{1,max}| = |x_{2,max}| = x_{max}$ ) และ  $y_1$  กับ  $y_2$  มีค่าเท่ากันเช่นกัน ( $|y_{1,max}| = |y_{2,max}| = y_{max}$ ) ดังนั้นค่ามุมการวางตัวของสว่านสามารถคำนวณได้จาก

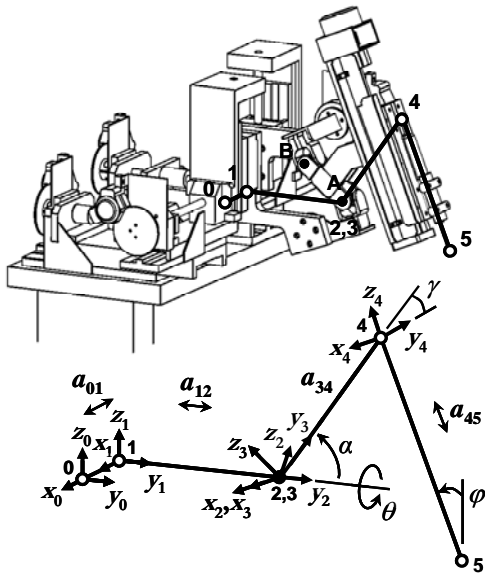
$$\theta_{max} = \arcsin\left(\frac{2x_{max}}{l}\right) \quad (5)$$

และ 
$$\varphi_{max} = \arcsin\left(\frac{2y_{max}}{l}\right) - \beta \quad (6)$$

นอกจากความสัมพันธ์ระหว่างมุมการวางตัวของสว่านกับระยะการเคลื่อนที่เชิงเส้นแล้ว ความสัมพันธ์ระหว่างตำแหน่งจุดปลายสว่านกับระยะการเคลื่อนที่เชิงเส้นของกลไกคาร์ทีเซียนก็สามารถหาได้โดยอาศัยการพิจารณาระบบพิกัด (coordinate system) ของแบบจำลองดังรูปที่ 5 ทั้งนี้แบบจำลองประกอบด้วยกรอบพิกัด (coordinate frames) 0 กับ 1 ซึ่งใช้สำหรับอ้างอิงการเคลื่อนที่ตามแนวแกนเชิงเส้นในแนวราบ (แนวแกน  $x$  และ  $y$ ) ส่วนกรอบพิกัด 2 กับ 3

## DRC-17

15-17 ตุลาคม 2557 จังหวัดขอนแก่น



รูปที่ 5 ระบบพิกัดของแบบจำลองการเคลื่อนที่ของระบบกลไกโคโอบเรทีฟคาร์ทีเซียน

เป็นกรอบพิกัดหมุน (rotating coordinate frames) ใช้สำหรับอ้างอิงการหมุนของชิ้นส่วนก้านโยงข้อต่อสูก ซึ่งเป็นได้ทั้งตามแนว  $\theta$  และ  $\alpha$  สุดท้ายคือกรอบพิกัด 4 ใช้สำหรับอ้างอิงการเคลื่อนที่ในแนวตรงของตัวสว่าน เมื่อกำหนดให้กรอบพิกัด 0 ซึ่งเป็นกรอบพิกัดฐาน (base frame) มีตำแหน่งอยู่ที่กึ่งกลางระหว่างฐานกลไกคาร์ทีเซียนทั้งสองและกำหนดให้ข้อต่อสูก A ไม่มีการเปลี่ยนแปลงความสูง (แกนบอลสกรูแนวตั้งของกลไกคาร์ทีเซียนที่เชื่อมต่อกับข้อต่อสูก A ถูกล็อกไว้ตลอดเวลาและเฉพาะข้อต่อสูก B เท่านั้นที่เปลี่ยนแปลงความสูงได้อย่างอิสระ) จะทำให้สามารถคำนวณหาระยะขจัดของจุดปลายสว่านเทียบกับกรอบพิกัดฐานดังสมการ

$$R_{05} = R_{01} + R_{12} + A_{12}(A_{23}(R_{34} + A_{34}R_{45})) \quad (7)$$

เมื่อ  $R_{05}$  คือ เวกเตอร์ระบุตำแหน่งของจุดปลายสว่านเทียบกับกรอบพิกัดฐานซึ่ง

$$R_{05} = [X_5 \quad Y_5 \quad Z_5]^T, \quad R_{05} \in \mathbf{R}^3 \quad (8)$$

$R_{01}$ ,  $R_{12}$ ,  $R_{34}$  และ  $R_{45}$  คือ เวกเตอร์ระบุตำแหน่งจุดกำเนิด (origin) ของกรอบพิกัดต่างๆ เทียบกันโดยที่

$$R_{01} = [-a_{01} \quad 0 \quad 0]^T \quad (9)$$

$$R_{12} = [0 \quad a_{12} \quad 0]^T \quad (10)$$

$$R_{34} = [0 \quad a_{34} \quad 0]^T \quad (11)$$

$$\text{และ} \quad R_{45} = [0 \quad 0 \quad -a_{45}]^T \quad (12)$$

เมื่อ  $a_{01}$ ,  $a_{12}$ ,  $a_{34}$  และ  $a_{45}$  คือ ระยะห่างระหว่างจุดกำเนิดของกรอบพิกัด 0 กับ 1, 1 กับ 2, 3 กับ 4 และ 4 กับ 5 ตามลำดับ ส่วน  $A_{12}$ ,  $A_{23}$  และ  $A_{34}$  คือ เมทริกซ์หมุน (rotation matrices) ซึ่ง

$$A_{12} = \begin{bmatrix} \cos \theta & 0 & \sin \theta \\ 0 & 1 & 0 \\ -\sin \theta & 0 & \cos \theta \end{bmatrix} \quad (13)$$

$$A_{23} = \begin{bmatrix} 1 & 0 & 0 \\ 0 & \cos \alpha & -\sin \alpha \\ 0 & \sin \alpha & \cos \alpha \end{bmatrix} \quad (14)$$

$$\text{และ} \quad A_{34} = \begin{bmatrix} 1 & 0 & 0 \\ 0 & \cos(-\gamma) & -\sin(-\gamma) \\ 0 & \sin(-\gamma) & \cos(-\gamma) \end{bmatrix} \quad (15)$$

จากการคำนวณพบว่าสมาชิก (elements) ของเวกเตอร์  $R_{05}$  แสดงตำแหน่งของจุดปลายสว่านเทียบกับกรอบพิกัดฐานตามแนวแกน x, y และ z ดังนี้

$$X_5 = -a_{01} + a_{34} \sin \alpha \sin \theta - a_{45} \sin \gamma \sin \alpha \sin \theta - a_{45} \cos \gamma \cos \alpha \sin \theta \quad (16)$$

$$Y_5 = a_{12} + a_{34} \cos \alpha - a_{45} \sin \gamma \cos \alpha + a_{45} \cos \gamma \sin \alpha \quad (17)$$

$$Z_5 = a_{34} \sin \alpha \cos \theta - a_{45} \sin \gamma \sin \alpha \cos \theta - a_{45} \cos \gamma \cos \alpha \cos \theta \quad (18)$$

$a_{34}$  และ  $\gamma$  ไม่ใช่ตัวแปร แต่เป็นค่าคงที่ที่ขึ้นอยู่กับขนาดของส่วนประกอบกลไกที่ใช้เชื่อมต่อกับกลไกคาร์ทีเซียนกับกลไกส่วนปลายสำหรับขับเคลื่อนสว่าน ส่วน  $a_{01}$ ,  $a_{12}$ ,  $a_{45}$ ,  $\theta$  และ  $\alpha$  เป็นตัวแปร ซึ่งในกรณีนี้  $a_{01} = x_1$  (ในรูปที่ 4(ก)),  $a_{12} = y_1$  (ในรูปที่ 4(ข)),  $\theta$  มีค่าตามสมการ (2) และ  $\alpha = \gamma + \varphi$  ดังนั้นเมื่อแทนค่าต่างๆ เหล่านี้ลงใน (16)-(18) จะได้

$$X_5 = -x_1 + a_{34} \sin(\gamma + \varphi) \sin \theta - a_{45} \sin \gamma \sin(\gamma + \varphi) \sin \theta - a_{45} \cos \gamma \cos(\gamma + \varphi) \sin \theta \quad (19)$$

**DRC-17**

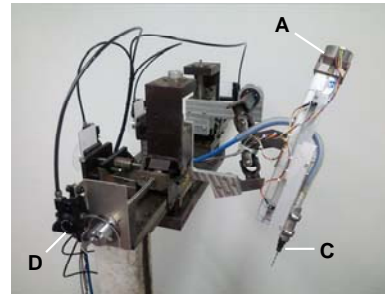
$$Y_5 = y_1 + a_{34} \cos(\gamma + \varphi) - a_{45} \sin \gamma \cos(\gamma + \varphi) + a_{45} \cos \gamma \sin(\gamma + \varphi) \quad (20)$$

$$Z_5 = a_{34} \sin(\gamma + \varphi) \cos \theta - a_{45} \sin \gamma \sin(\gamma + \varphi) \cos \theta - a_{45} \cos \gamma \cos(\gamma + \varphi) \cos \theta \quad (21)$$

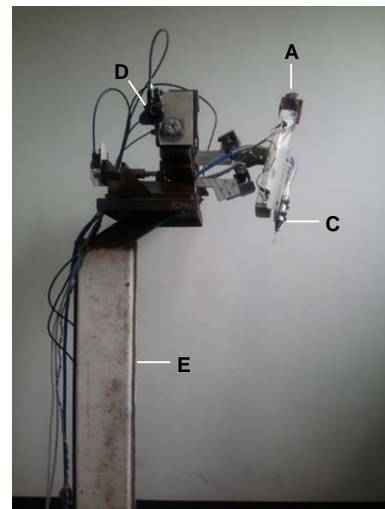
สมการ (19)-(21) มีความสำคัญอย่างยิ่งต่อการคำนวณเพื่อวิเคราะห์และออกแบบระบบกลไกให้สามารถเคลื่อนที่ได้อย่างมีประสิทธิภาพ

**3. เครื่องต้นแบบ**

ต้นแบบเครื่องช่วยจัดตำแหน่งสว่านที่พัฒนาขึ้นโดยอาศัยระบบกลไกโคโอเปอเรทีฟคาร์ทีเซียนแสดงดังรูปที่ 6 กลไกและอุปกรณ์ที่เกี่ยวข้องทั้งหมดถูกติดตั้งบนฐานโครงสร้างที่มีล้อเลื่อนสำหรับอำนวยความสะดวกต่อการเคลื่อนย้าย ที่ส่วนปลายของระบบกลไกมีการติดตั้งสว่านลมความเร็วสูง (high-speed pneumatic drill) ขับเคลื่อนด้วยชุดขับแนวตรง (linear actuator) ซึ่งประกอบด้วยสเต็ปเปอร์มอเตอร์ (MITSUMI M55SP-1N, 7.5°/step) และบอลสกรู (ระยะพิตช์ 3 มิลลิเมตร) การควบคุมการเคลื่อนตัวของชุดขับแนวตรงอาศัยไมโครคอนโทรลเลอร์ (Arduino MEGA 2560 R3) โดยป้อนค่าผ่านแผงปุ่มควบคุมทิศทางและปุ่มตัวเลข (keypad) เพื่อการตั้งค่าความลึกและความเร็วในการเคลื่อนที่ (feed rate) ทั้งนี้สว่านสามารถถูกควบคุมให้เคลื่อนที่ได้ในช่วงการทำงาน 0-145 มิลลิเมตร มีความละเอียด (resolution) ของการเคลื่อนที่ 0.063 มิลลิเมตรและความเร็วในการเคลื่อนที่สูงสุด 2.6 มิลลิเมตรต่อวินาที การคงตำแหน่งการวางตัวของสว่านทำได้โดยอาศัยตัวล็อกที่ติดตั้งกับกลไกคาร์ทีเซียน และเพื่อเป็นการป้องกันความเสียหายต่อกลไกและอุปกรณ์ขับเคลื่อน ที่ตำแหน่งปลายสุดแต่ละด้านของชุดขับแนวตรงมีเซนเซอร์แสง (optical sensor) ติดตั้งไว้สำหรับป้องกันการเคลื่อนที่เกินช่วง

**4. ผลการทดสอบ**

(ก)

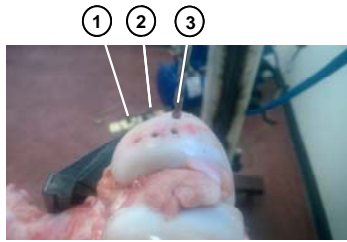


(ข)

รูปที่ 6 เครื่องช่วยจัดตำแหน่งสว่านต้นแบบ (ก) ส่วนกลไกโคโอเปอเรทีฟคาร์ทีเซียนและ (ข) ส่วนกลไกและฐาน (A: สเต็ปเปอร์มอเตอร์, B: บอลสกรู, C: สว่านลม, D: ตัวล็อกตำแหน่ง และ E: ฐานโครงสร้าง)

ในเบื้องต้น เครื่องช่วยจัดตำแหน่งสว่านต้นแบบถูกนำไปใช้ในการทดสอบการเจาะกระดูกโดยวัตถุตัวอย่างที่ใช้คือกระดูกหมู (porcine bone) รูปที่ 7 แสดงตำแหน่งและแนวการวางตัวของสว่านสำหรับการเจาะบริเวณข้อกระดูก 3 ตำแหน่งที่มีระยะห่างกันประมาณ 8 มิลลิเมตร โดยแต่ละตำแหน่งใช้ดอกสว่านขนาด 3.5 มิลลิเมตรทำการเจาะในแนวตั้งจากกับผิวกระดูกด้วยความเร็วประมาณ 1 มิลลิเมตรต่อวินาที ความลึกของการเจาะกำหนดไว้ที่ระดับต่างๆ จนถึงระดับใกล้แกนกลางกระดูก คือ 5, 8 และ 12 มิลลิเมตรตามลำดับ ซึ่งหลังจากการทดสอบได้ตรวจสอบกระดูก

## DRC-17



รูปที่ 7 ตำแหน่งการทดสอบการเจาะกระดูกหมูด้วยเครื่องช่วยจัดตำแหน่งสว่านต้นแบบ

ตัวอย่างพบว่ารูเจาะมีระดับความลึกซึ่งวัดได้ใกล้เคียงกับที่ตั้งค่าการเจาะไว้ ทั้งนี้ค่าความลึกของแต่ละรูมีความคลาดเคลื่อนไปจากที่กำหนดไว้น้อยกว่า 1%

## 5. บทสรุป

เครื่องช่วยจัดตำแหน่งสว่านแบบโคโอบีโอเรทีฟคาร์ทีเซียนที่พัฒนาขึ้นเป็นเครื่องมือที่ช่วยให้การเจาะกระดูกมีความแม่นยำมากกว่าการเจาะด้วยสว่านมือ ทั้งนี้เนื่องจากเครื่องมือโครงสร้างที่แข็งแรง มีระบบควบคุมที่สามารถควบคุมระดับความลึกและอัตราการเจาะให้เป็นไปได้ อย่างแม่นยำ นอกจากนี้ตัวเครื่องยังมีลักษณะพิเศษคือ ผู้ใช้สามารถใช้มือปรับเปลี่ยนตำแหน่งและแนวการวางตัวของสว่านได้โดยง่ายซึ่งทำให้สะดวกต่อการใช้งาน นอกจากนี้ยังมีระบบล็อกไกที่ทำให้สว่านสามารถงัดตำแหน่งได้อย่างมั่นคงขณะทำการเจาะวัตถุ จากคุณสมบัติดังกล่าวมาทำให้เครื่องช่วยจัดตำแหน่งสว่านสามารถใช้เป็นเครื่องมือสำหรับอำนวยความสะดวกในการผ่าตัด การใช้เครื่องมือดังกล่าวอย่างเหมาะสมจะสามารถช่วยลดความเสี่ยงต่อการเกิดความผิดพลาดต่างๆ ทำให้กระบวนการผ่าตัดมีความปลอดภัยมากขึ้น

## 6. ภาคผนวก

คุณสมบัติเฉพาะ (specifications) ของเครื่องช่วยจัดตำแหน่งสว่านต้นแบบสามารถแสดงโดยย่อดังตารางที่ 1

ตารางที่ 1 คุณสมบัติเฉพาะของเครื่องช่วยจัดตำแหน่งสว่านต้นแบบ

คุณสมบัติเฉพาะ	ขนาด
ช่วงการเคลื่อนที่ของสว่านตามแนวราบซ้าย-ขวา	+/-30 mm
ช่วงการเคลื่อนที่ของสว่านตามแนวราบหน้า-หลัง	+/-30 mm
ช่วงการเคลื่อนที่ของสว่านตามแนวแกน	0-145 mm

ความละเอียดของการเคลื่อนสว่านตามแนวแกน	0.063 mm
ความเร็วต่ำสุดในการเจาะ	0.6 mm/s
ความเร็วสูงสุดในการเจาะ	2.6 mm/s
มุมการวางตัวต่ำสุด (เทียบกับแนวตั้ง)	-35°
มุมการวางตัวสูงสุด (เทียบกับแนวตั้ง)	35°
เส้นผ่านศูนย์กลางของดอกสว่าน	≤3.5 mm

## 7. เอกสารอ้างอิง

- [1] Shoham, M., Burman, M., Zehavi, E., Joskowicz, L., Batkalin, E., and Kunicher, Y. (2003). Bone-Mounted Miniature Robot for Surgical Procedures: Concept and Clinical Applications, *IEEE Transactions on Automatics and Automation*, vol. 19(5), October 2003, pp.893-901.
- [2] Louredo, M., Diaz, I., and Gil, J. (2012). DRIBON: A Mechatronic Bone Drilling Tool, *Mechatronics*, vol. 22(8), December 2012, pp. 1060-1066.
- [3] Tsai, T. and Hsu, Y. (2007). Development of a Parallel Surgical Robot with Automatic Bone Drilling Carriage for Stereotactic Neurosurgery, *Biomedical Engineering, Applications, Basis, and Communications*, vol.19(4), August 2007, pp. 269-277.
- [4] Bertollo, N. and Walsh, W. R. (2011), Drilling of Bone: Practicality, Limitations and Complications Associated with Surgical Drill-Bits, *Biomechanics in Applications*, September 2011, pp. 53-82.
- [5] Nasser, M. A., Eder, M., Eberts, D., Nair, S., Maier, M., Zapp, D., Lohmann, C. P., and Knoll, A. (2013). Kinematics and Dynamics Analysis of a Hybrid Parallel-Serial Micromanipulator Designed

## DRC-17

for Biomedical Applications, paper presented in  
*the 2013 IEEE/ASME International Conference on  
Advanced Intelligent Mechatronics*, Wollongong,  
Australia.